



Министерство науки и высшего образования Российской Федерации  
Федеральное государственное бюджетное образовательное учреждение  
высшего образования  
«Московский государственный технический университет  
имени Н. Э. Баумана  
(национальный исследовательский университет)»  
(МГТУ им. Н. Э. Баумана)

---

ФАКУЛЬТЕТ «Информатика и системы управления»

---

КАФЕДРА «Программное обеспечение ЭВМ и информационные технологии»

---

# РАСЧЕТНО-ПОЯСНИТЕЛЬНАЯ ЗАПИСКА

## *К КУРСОВОЙ РАБОТЕ*

### *НА ТЕМУ:*

*«Программа для создания полигональной модели по  
томографии трехмерного объекта»*

Студент ИУ7-53Б  
(Группа)

\_\_\_\_\_  
(Подпись, дата)

А. И. Дегтярев  
(И. О. Фамилия)

Руководитель курсовой работы

\_\_\_\_\_  
(Подпись, дата)

А. А. Павельев  
(И. О. Фамилия)

*2021 г.*

# СОДЕРЖАНИЕ

<b>ВВЕДЕНИЕ</b>	<b>5</b>
<b>1 Аналитический раздел</b>	<b>6</b>
1.1 Формализация объектов . . . . .	6
1.2 Анализ алгоритмов полигонизации . . . . .	7
1.2.1 Алгоритм Marching cubes ("шагающих кубов") . . . . .	7
1.2.2 Алгоритм Marching Tetrahedra . . . . .	8
1.2.3 Алгоритм Dual Contouring . . . . .	8
1.2.4 Алгоритм Dual Marching Cubes . . . . .	10
Вывод . . . . .	11
<b>2 Конструкторский раздел</b>	<b>12</b>
2.1 Схема алгоритма Dual Marching Cubes . . . . .	12
2.1.1 Построение леса восьмиричных деревьев . . . . .	12
2.1.2 Нахождение всех треугольников изоповерхности . . . . .	16
2.2 Описание используемых структур данных и оценка используемой памяти . . . . .	22
2.3 Структура разрабатываемого программного обеспечения . . . . .	22
Вывод . . . . .	24
<b>3 Технологический раздел</b>	<b>25</b>
3.1 Выбор средства программной реализации . . . . .	25
3.2 Процесс сборки приложения . . . . .	25
3.3 Пользовательский интерфейс . . . . .	25
3.4 Форматы входных и выходных данных . . . . .	28
3.5 Пример работы приложения . . . . .	29
3.6 Тестирование программного обеспечения . . . . .	29
Вывод . . . . .	29
<b>4 Исследовательский раздел</b>	<b>31</b>
4.1 Цель эксперимента . . . . .	31
4.2 Описание эксперимента . . . . .	31
Вывод . . . . .	33

<b>ЗАКЛЮЧЕНИЕ</b>	<b>34</b>
<b>СПИСОК ИСПОЛЬЗОВАННЫХ ИСТОЧНИКОВ</b>	<b>36</b>

## ВВЕДЕНИЕ

С продвижением прогресса появляется необходимость в инструментах, находящихся на пересечении нескольких наук. Одним из таких пересечений является медицина и компьютерная графика. С помощью магнитно-резонансной томографии и компьютерной томографии собирают информацию о внутренней структуре органов и тканей. Затем эти данные должны быть корректно отображены на экране компьютера, чтобы медицинский специалист смог поставить диагноз.

В то же время, сейчас активно развиваются и применяются технологии трехмерной печати. В медицине они используются для создания протезов и имплантов. Индивидуально напечатанные протезы значительно увеличивают качество жизни. Но для их создания необходима информация о внутренней структуре заменяемого органа. Таким образом, возникает потребность в программном обеспечении, позволяющем по трехмерным снимкам получать файлы для трехмерной печати.

Целью моей работы реализация программы с пользовательским интерфейсом для создания полигональной модели по результатам томографии.

Для достижения поставленной цели необходимо выполнить следующие задачи:

- изучить и проанализировать алгоритмы компьютерной графики построения полигональных моделей из послойных снимков, выбрать наиболее подходящий алгоритм;
- подробно изучить выбранный алгоритм для применения к поставленной задаче;
- привести схему рассматриваемого алгоритма;
- описать используемые структуры данных;
- описать структуру разрабатываемого программного обеспечения;
- определить средства программной реализации;
- описать процесс сборки приложения;
- протестировать разработанное программное обеспечение;

# 1 Аналитический раздел

В данном разделе будут рассмотрены алгоритмы компьютерной графики построения полигональных моделей из послойных снимков и выбраны наиболее подходящие алгоритмы.

## 1.1 Формализация объектов

**Томография** - получение послойного изображения внутренней структуры объекта (см. рис. 1.1)

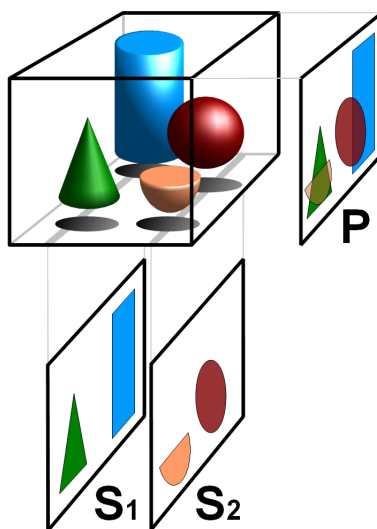


Рисунок 1.1 – Томограммы (S1, S2) группы трёхмерных объектов и их проекция (P)

**Результат томографии** - регулярная сетка вокселей, в которой каждому вокселю соответствует усредненное значение (температура, плотность материала) в данной точке трехмерного объекта. Данные результата томографии идеально подходят для хранения в трехмерном массиве.

**Изоповерхность** - поверхность, представляющая точки с постоянным значением (например, плотности, давления, температуры, или скорости) в некоторой части пространства. Математически определяется как поверхность уровня:

$$L_c(f) = \{(x, y, z) | f(x, y, z) = c\} \quad (1.1)$$

**Полигональная сетка** - совокупность вершин, ребер и граней, которые

определяют форму многогранного объекта.

## 1.2 Анализ алгоритмов полигонизации

Алгоритмы полигонизации разделяют на primal (прямые) и dual (двойственные). Dual алгоритмы в большинстве являются более поздними и способны более точно передать грани поверхности. Основное отличие их в том, как они строят полигоны из регулярной сетки значений функции. Primal ставят вершины на ребрах сетки, а dual определяют позицию вершины внутри куба сетки. Если представить узлы регулярной сетки вершинами графа, то можно сказать, что primal строят полигоны используя прямой граф, а dual двойственный к нему. На рисунке 1.2 показана разница между алгоритмами.

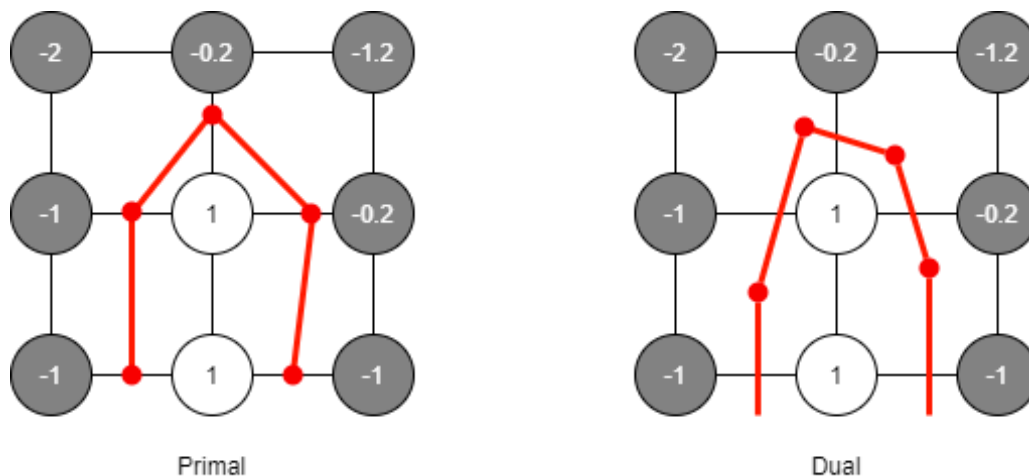


Рисунок 1.2 – Красная линия – аппроксимация изолинии отрезками. В primal алгоритмах вершины отрезков расположены на ребрах сетки, а в dual алгоритмах – внутри ячеек сетки

### 1.2.1 Алгоритм Marching cubes ("шагающих кубов")

Алгоритм шагающих кубов [1] рассматривает каждый куб в регулярной сетке, анализирует значения в вершинах куба, и определяет необходимые для представления части изоповерхности полигоны, проходящей через данный куб. Так как алгоритм выбирает полигоны, исходя только из положения вершин куба относительно изоповерхности, всего получается 256 ( $2^8$ ) возможных конфигураций полигонов, которые можно вычислить заранее и сохранить в массиве.

Этот алгоритм был опубликован पहले остальных и является основным, наиболее часто используемым. Однако, он создает большое количество поли-

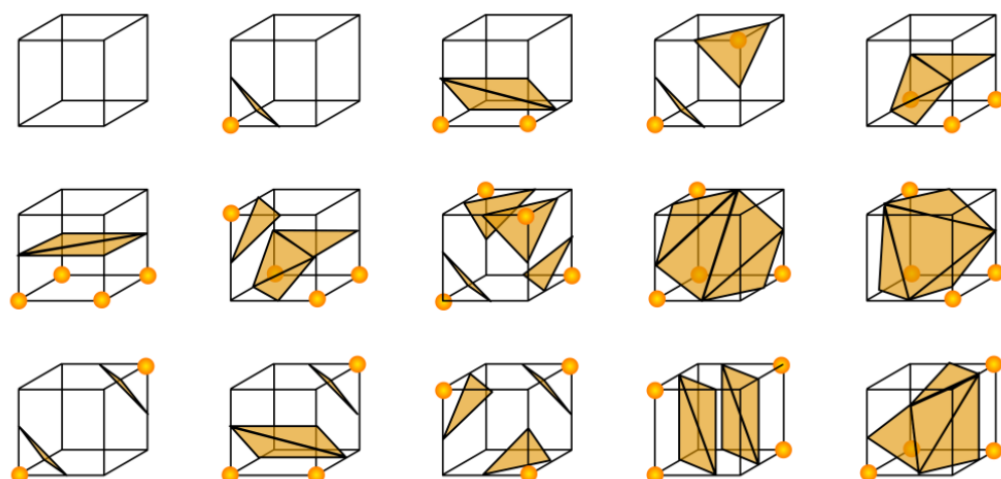


Рисунок 1.3 – 256 возможных конфигураций куба могут быть сведены к 15 благодаря симметрии

гонов - от 1 на каждый пересекающий изоповерхность куб. Это значительно увеличивает нагрузку на отрисовку и какое-либо редактирование. Углы получаются сглаженными. Существуют случаи с неопределенностью (см. рис. ??), который необходимо разрешать дополнительной проверкой соседних вершин.

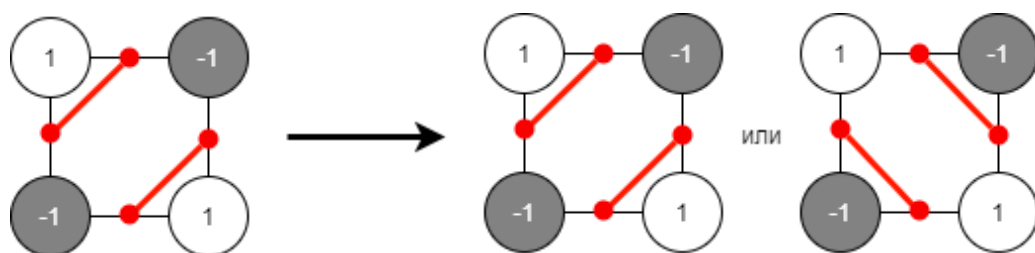


Рисунок 1.4 – Случай неопределенности в двумерном варианте

### 1.2.2 Алгоритм Marching Tetrahedra

Алгоритм Marching Tetrahedra[2] решает случай неопределенности из предыдущего алгоритма путем разбиения куб на тетраэдры (см. рис. 1.5). Тетраэдр имеет 16 ( $2^4$ ) возможных конфигураций полигонов.

Изначально этот алгоритм был придуман, как открытый аналог Marching Cubes, так как второй был запатентован. Однако, в наше время патент на Marching Cubes закончился.

### 1.2.3 Алгоритм Dual Contouring

Алгоритм Dual Contouring[3] решает проблемы Marching Cubes с помощью градиента функции. Эта информация позволит создавать острые

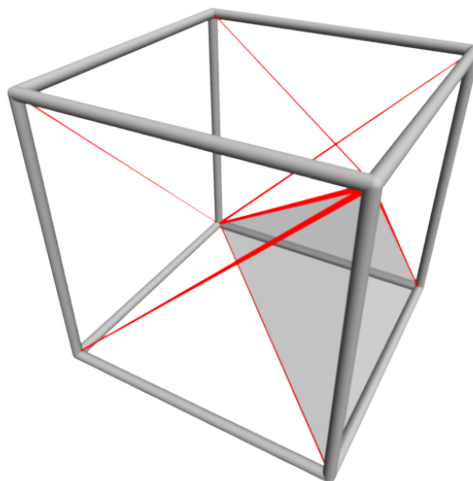


Рисунок 1.5 – Куб, составленный из 6 тетраэдров

границы, разрешать неопределенные случаи. Dual Contouring помещает в каждую ячейку по одной вершине, а затем соединяет точки, создавая полигональную сетку. Точки соединяются вдоль каждого ребра, имеющего смену знака, как и в Marching Cubes. На рисунке 1.6 представлен пример работы алгоритма.

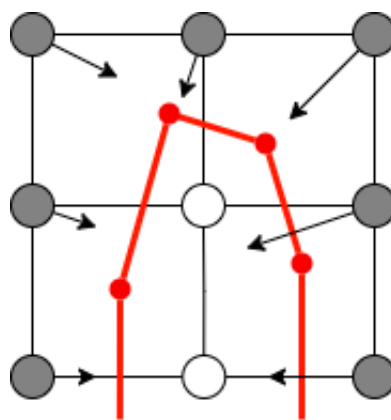


Рисунок 1.6 – Пример работы алгоритма Dual Contouring

На рисунке 1.6 в вершинах сетки показаны направления градиентов функции. Вершины внутри ячеек расставляются таким образом, что построенная изолиния должна быть перпендикулярна этим градиентам

Dual Contouring создаёт более естественные формы, чем Marching Cubes и не требует создания таблицы конфигураций.



### 1.2.4 Алгоритм Dual Marching Cubes

Алгоритм Dual Marching Cubes[4] является некоторой комбинацией Marching cubes и Dual Contouring. Его главной особенностью считается построение полигональной сетки без избыточного деления на полигоны. Это достигается благодаря построению восьмеричного дерева, в котором куб делится на 8 меньших кубов. В результате разбиения в каждом кубе существует такая точка, касательная плоскость к которой наилучшим образом описывает участок изоповерхности внутри этого куба. С помощью дерева каждая вершина соединяется ребром с соседними к ней. Далее, рассматривая полученный граф, как регулярную сетку, применяют алгоритм Marching Squares. На рисунке 1.7 приведено сравнение алгоритмов полигонизации[4] на примере комнаты, построенной с использованием конструктивной блочной геометрией.

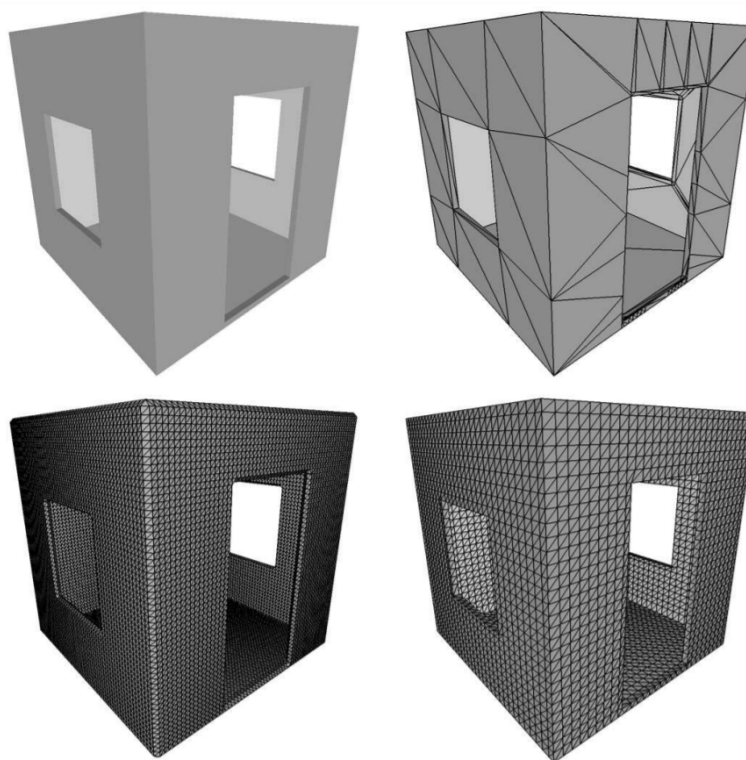


Рисунок 1.7 – Слева сверху - комната-оригинал, построенная с использованием конструктивной блочной геометрией. Слева снизу - результат работы Marching Cubes (67 тыс. полигонов). Справа снизу - Dual Contouring (17 тыс. полигонов). Сверху справа - Dual Marching Cubes (440 полигонов)

В результате работы алгоритма получается полигональная сетка с меньшим количеством полигонов и большей детализацией.

## Вывод

В данном разделе были изучены и проанализированы алгоритмы полигонизации. В качестве решения были выбраны алгоритмы Dual Marching Cubes, потому что создает наиболее оптимизированную полигональную сетку, не теряющую деталей.

## 2 Конструкторский раздел

В данном разделе будут приведена схема алгоритма Dual Marching Cubes, описаны используемые структуры данных, оценен объем памяти, необходимый для хранения данных, описана структура разрабатываемого программного обеспечения.

### 2.1 Схема алгоритма Dual Marching Cubes

На рисунках 2.1-2.8 представлена схема алгоритма Dual Marching Cubes.

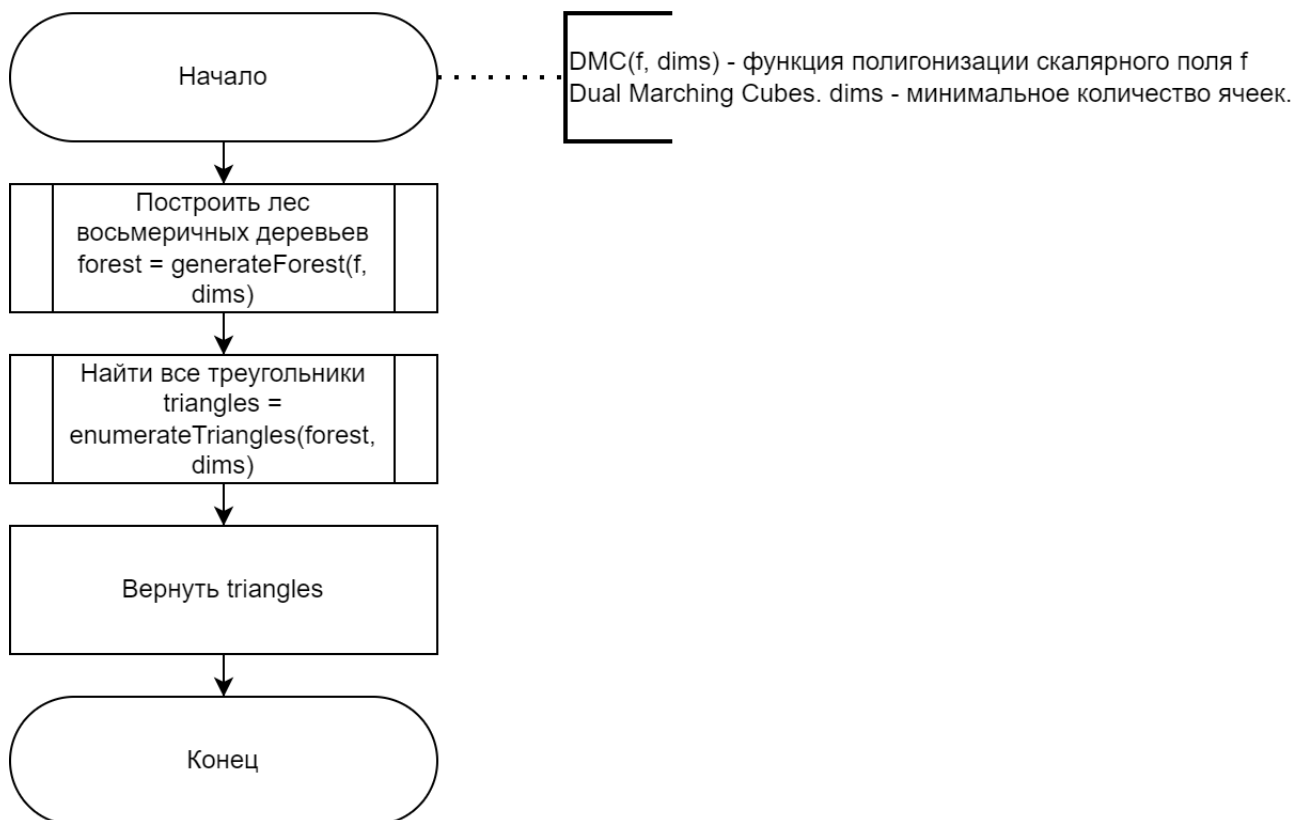


Рисунок 2.1 – Схема алгоритма Dual Marching Cubes

На рисунке 2.1 видно, что алгоритм разделен на 2 этапа:

- 1 этап - построение леса восьмиричных деревьев, характеризующих функцию скалярного поля.
- 2 этап - нахождение всех треугольников, описывающих изоповерхность.

#### 2.1.1 Построение леса восьмиричных деревьев

Согласно работе[4] построение леса восьмиричных деревьев позволяет оптимизировать последующее построение полигональной модели. В каждом

листе дерева определяется точка  $(x, y, z)$  характеризующая особенность скалярного поля в объеме ячейки, за которую отвечает данный лист дерева. Для этого используется квадратичная функция ошибки:

- рассматривается регулярная сетка внутри ячейки  $P$ :

$$P = (x, y, z) | x = x_1 + d_x i, y = y_1 + d_y j, z = z_1 + d_z k, \quad (2.1)$$

где  $(x_1, y_1, z_1)$  - угол ячейки;  $i, j, k \in \overline{0..N}$ ;  $d_x, d_y, d_z$  - шаг сетки;

- в каждой точки  $(x_i, y_i, z_i) \in P$  строится тангенсальная плоскость к графику функции в точке  $w = f(x, y, z)$ , и имеет уравнение:

$$T_i(x, y, z) = w \quad (2.2)$$

$$T_i(x, y, z) = \nabla f(x_i, y_i, z_i) \cdot ((x, y, z) - (x_i, y_i, z_i)); \quad (2.3)$$

- квадратичная функции ошибки для всех точек имеет вид:

$$E(w, x, y, z) = \sum_i \frac{(w - T_i(x, y, z))^2}{1 + |\nabla f(x_i, y_i, z_i)|^2}. \quad (2.4)$$

Точка, в которой квадратичная ошибка минимальна, аппроксимирует функцию наилучшим образом в данном объеме.

Для поиска минимума функции 2.4 воспользуемся методом Якоби для решения системы линейных уравнений, в котором каждое уравнение имеет вид:

$$\nabla f(x_i, y_i, z_i) \cdot (x, y, z) - w = \nabla f(x_i, y_i, z_i) \cdot (x_i, y_i, z_i) \quad (2.5)$$

Однако использовать такие уравнения не результативно - координаты полученной точки часто находятся вне объема ячейки, поэтому нужно добавить ограничение. Сместим точку отсчета координат для точек  $(x_i, y_i, z_i)$  в центр ячейки  $m$  и добавим уравнения, которые будут устремлять результат в новое начало координат. Теперь система уравнений выглядит следующим

образом:

$$\nabla f(x_i, y_i, z_i) \cdot (x, y, z) - w = \nabla f(x_i, y_i, z_i) \cdot ((x_i, y_i, z_i) - m) + f(x_i, y_i, z_i) \quad (2.6)$$

$$c_x x = 0 \quad (2.7)$$

$$c_y y = 0 \quad (2.8)$$

$$c_z z = 0 \quad (2.9)$$

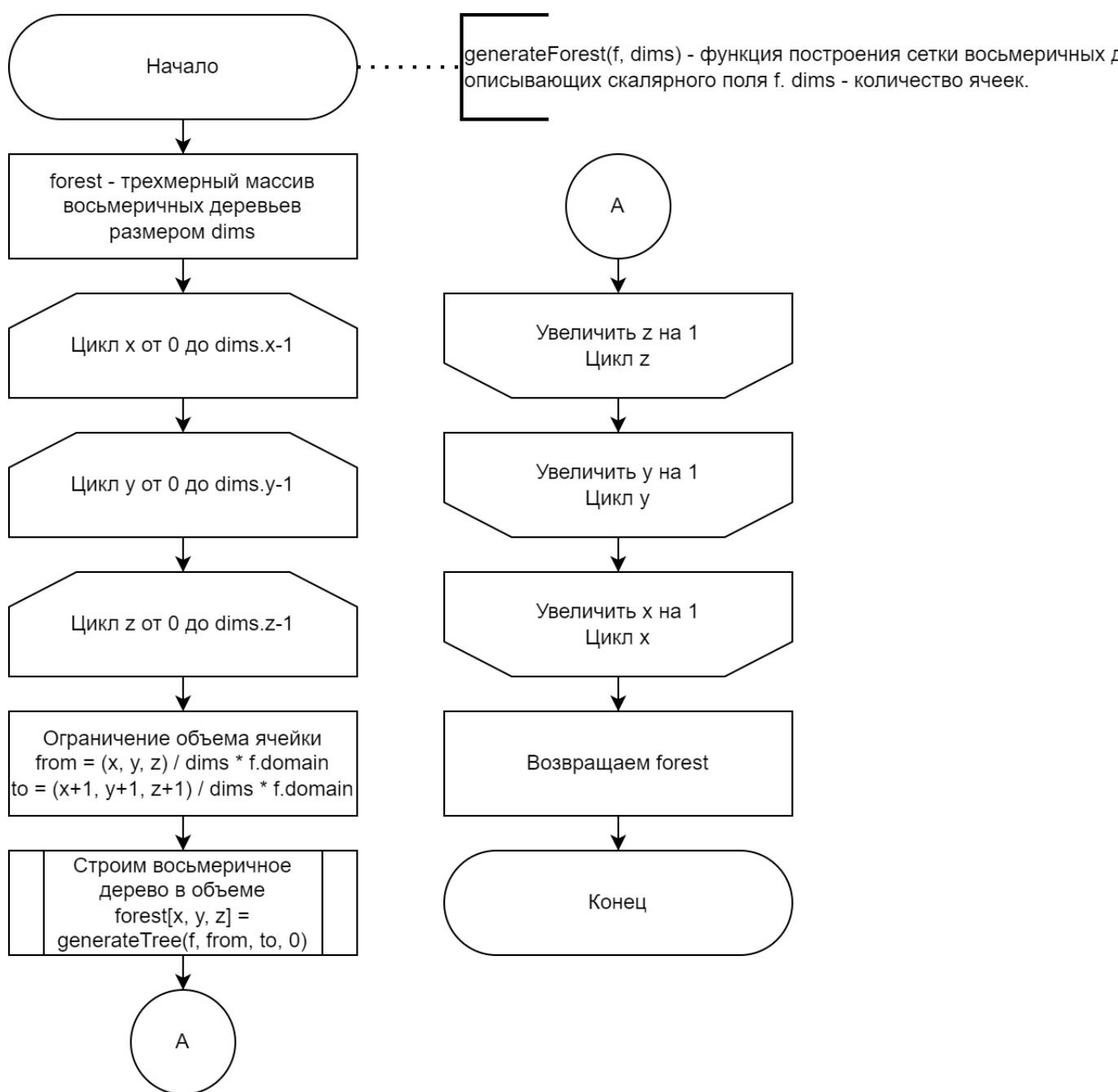


Рисунок 2.2 – Схема первого этапа алгоритма, функции generateForest построения леса восьмиричных деревьев

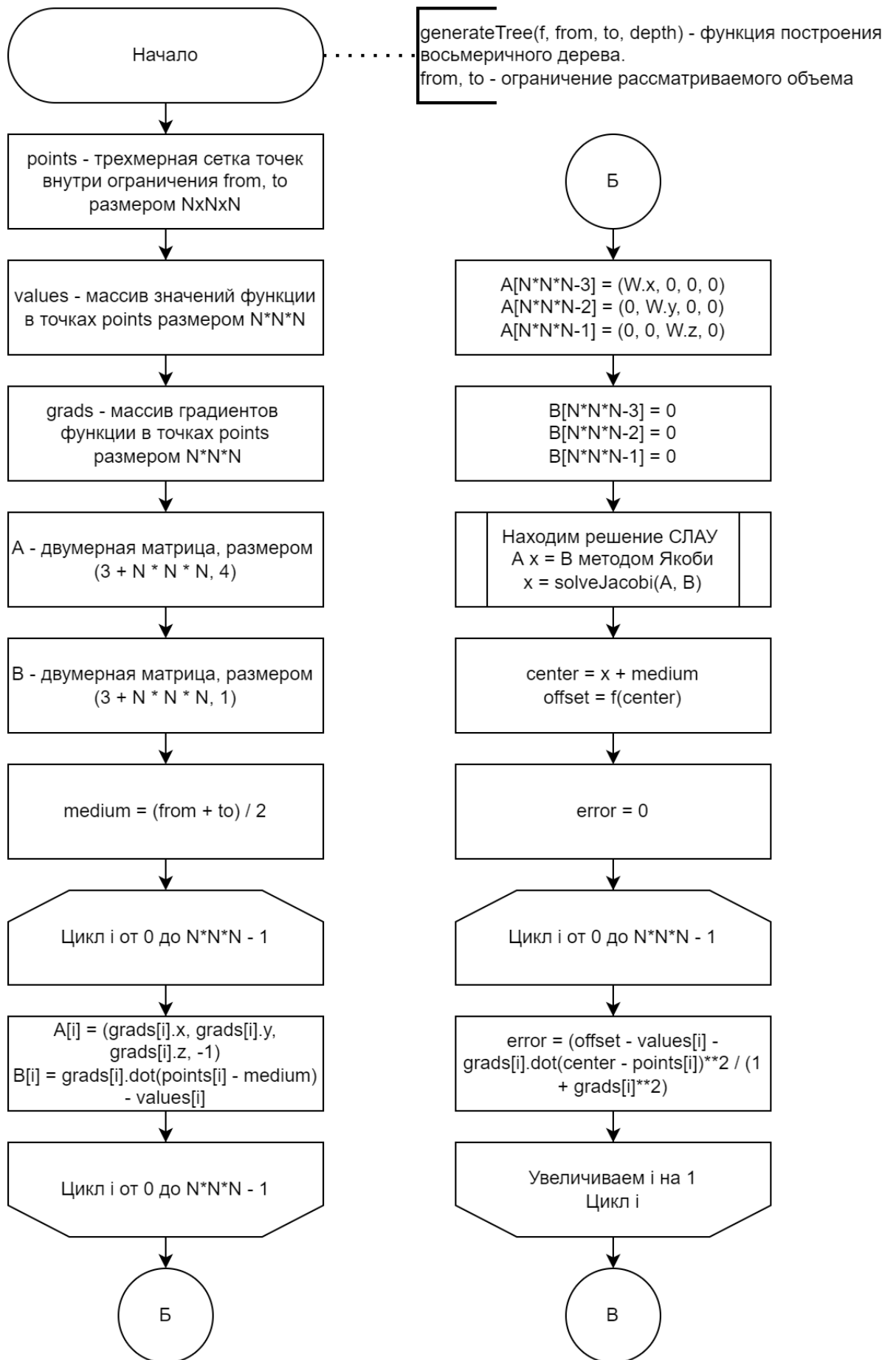


Рисунок 2.3 – Схема функции **generateTree** построения восьмеричного дерева, характеризующего функцию скалярного поля в параллелепипеде

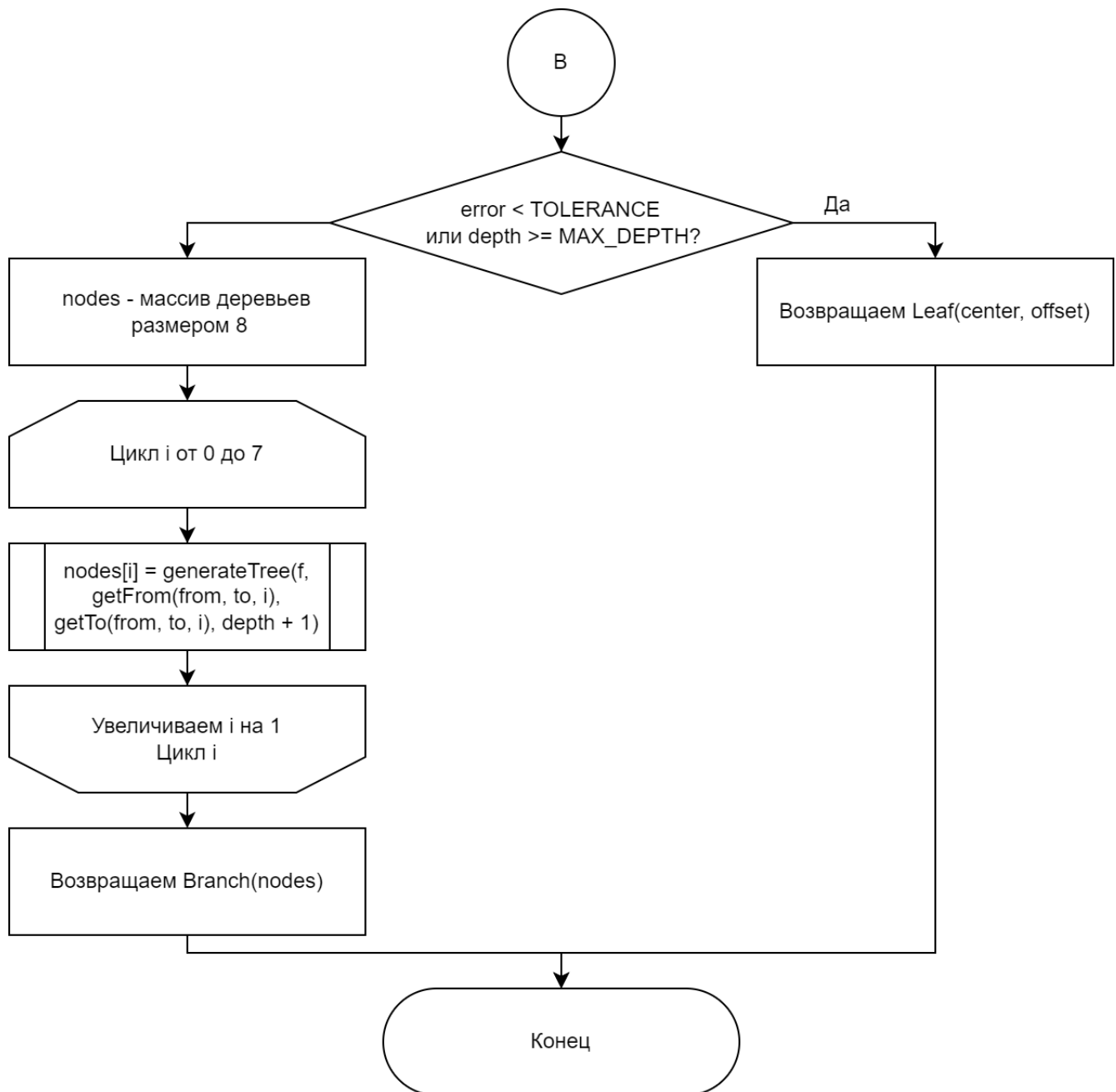


Рисунок 2.4 – Продолжение схемы функции **generateTree** построения восьмеричного дерева. Поиск точки, характеризующей функцию в данном объеме

### 2.1.2 Нахождение всех треугольников изоповерхности

На рисунках 2.6-2.8 представлен второй этап алгоритма, суть которого заключается в обходе всех соседних ячеек восьмеричных деревьев и применение к соседям алгоритма Marching Cubes. В статье[4] предлагают рекурсивное решение этой задачи на двумерном примере(см. рис. 2.5):

- к каждой узлу дерева применяют `enumerateCell`. Если ячейка является поддеревом, к каждому дочернему узлу функция применяет `enumerateCell`, к каждому парам применяет `enumerateEdgeX` или `enumerateEdgeY` и ко всем узлам применяет `enumerateVertex`;
- `enumerateEdgeX` применяется к паре узлов, имеющих общую сторону по оси X. Если хотя бы один из узлов является поддеревом, то функция применяет `enumerateEdgeX` и `enumerateVertex` ко всем ближайшим к стороне узлам. Аналогично работает `enumerateEdgeY`;
- `enumerateVertex` применяется к четырем узлам, имеющим общую точку. Если хотя бы один из узлов является поддеревом, то применяет ко всем ближайшим к точке `enumerateVertex`. Если же все узлы являются листьями, применить к вершинам в этих листьях `Marching Cubes`.



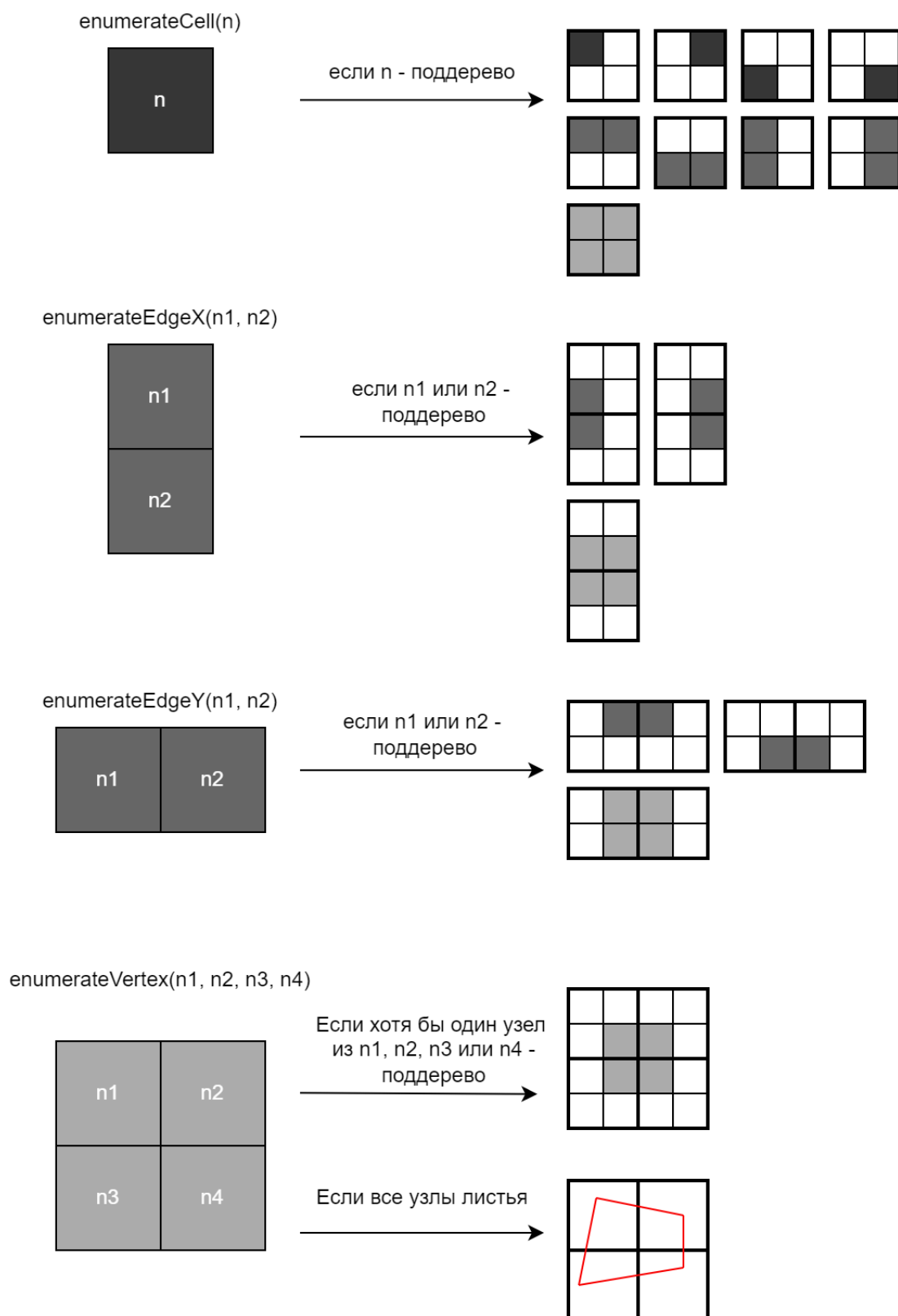


Рисунок 2.5 – Схема рекурсивного обхода соседей, для двумерного варианта.  
Трёхмерный вариант является тривиальным расширением двумерного

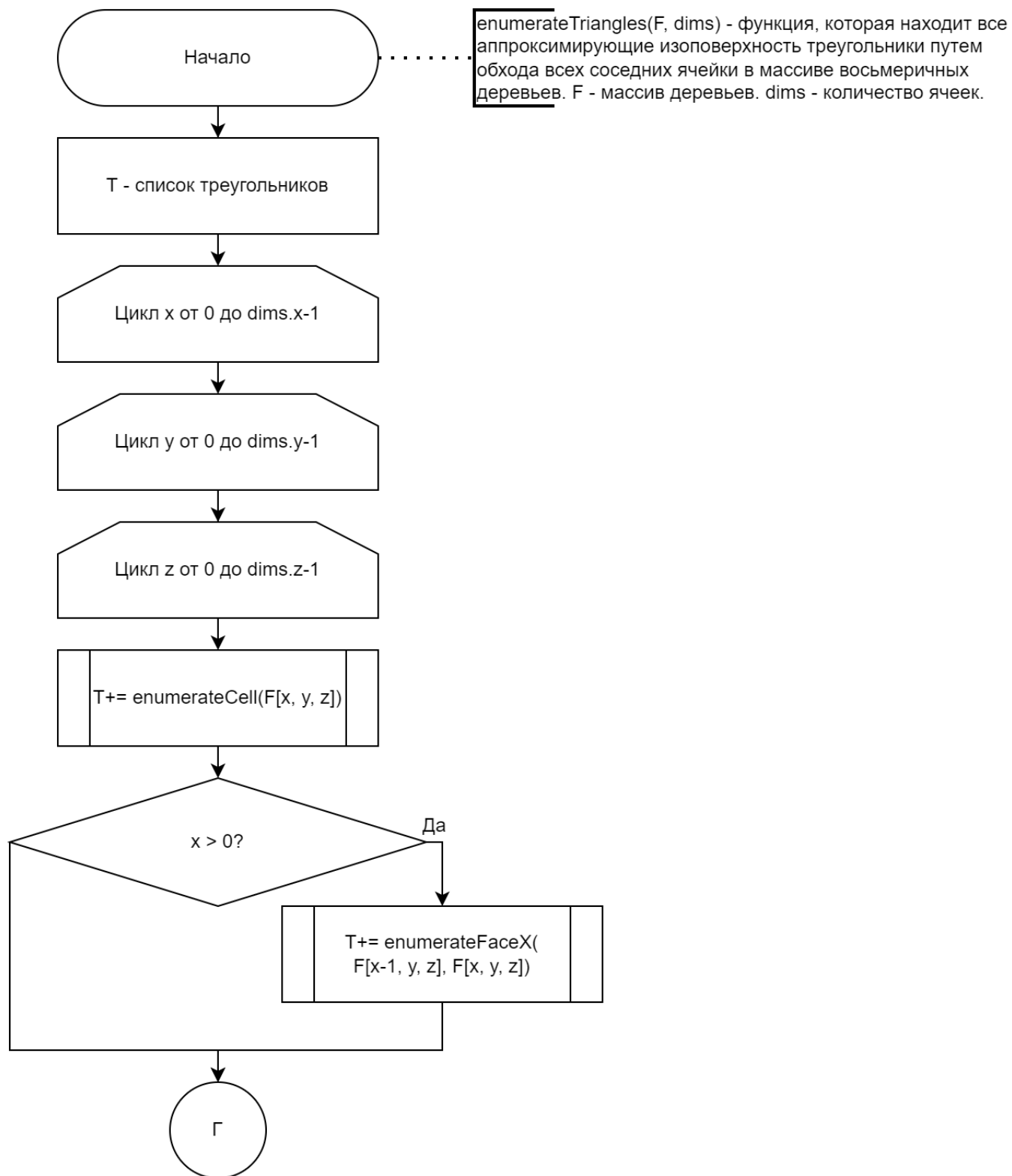


Рисунок 2.6 – Схема функции `enumerateTriangles`

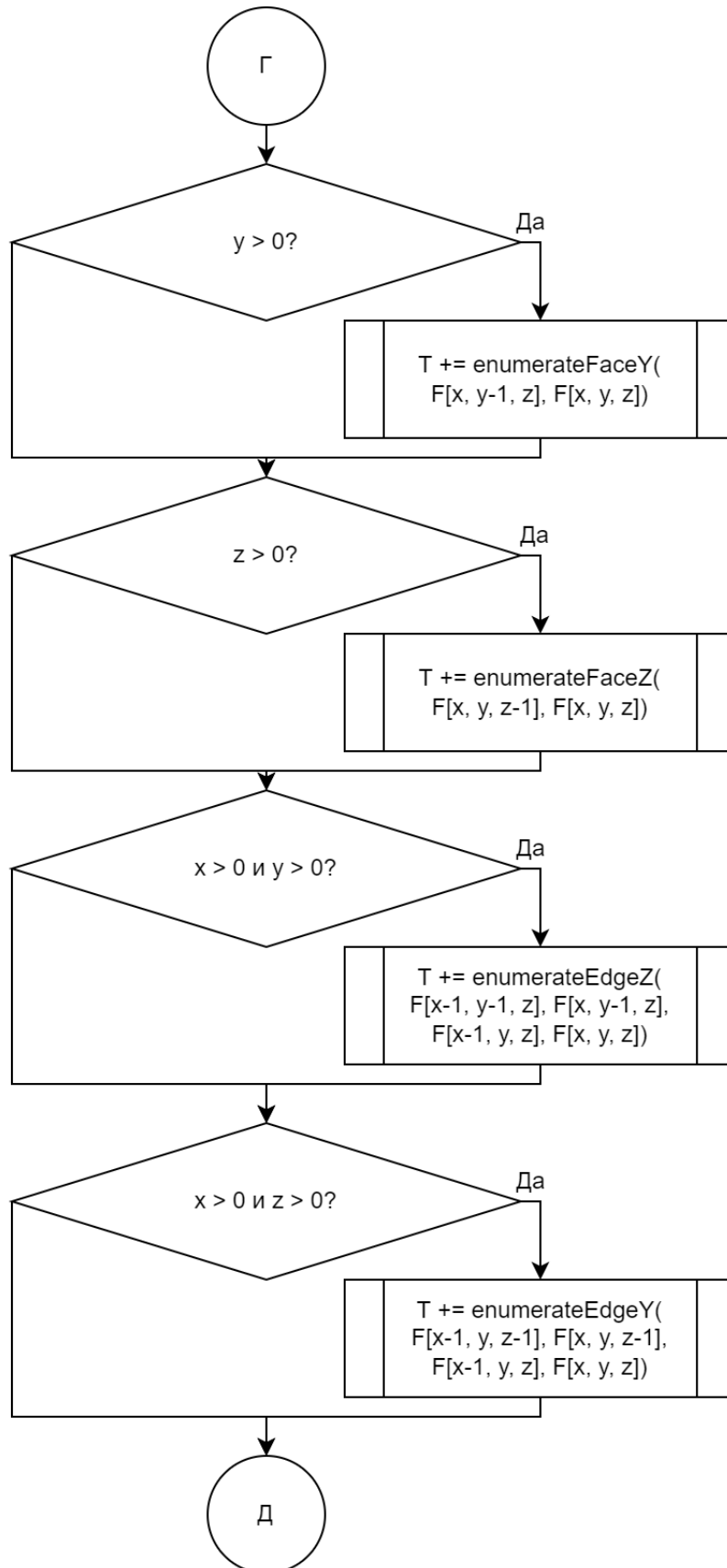


Рисунок 2.7 – Продолжение схемы функции `enumerateTriangles`

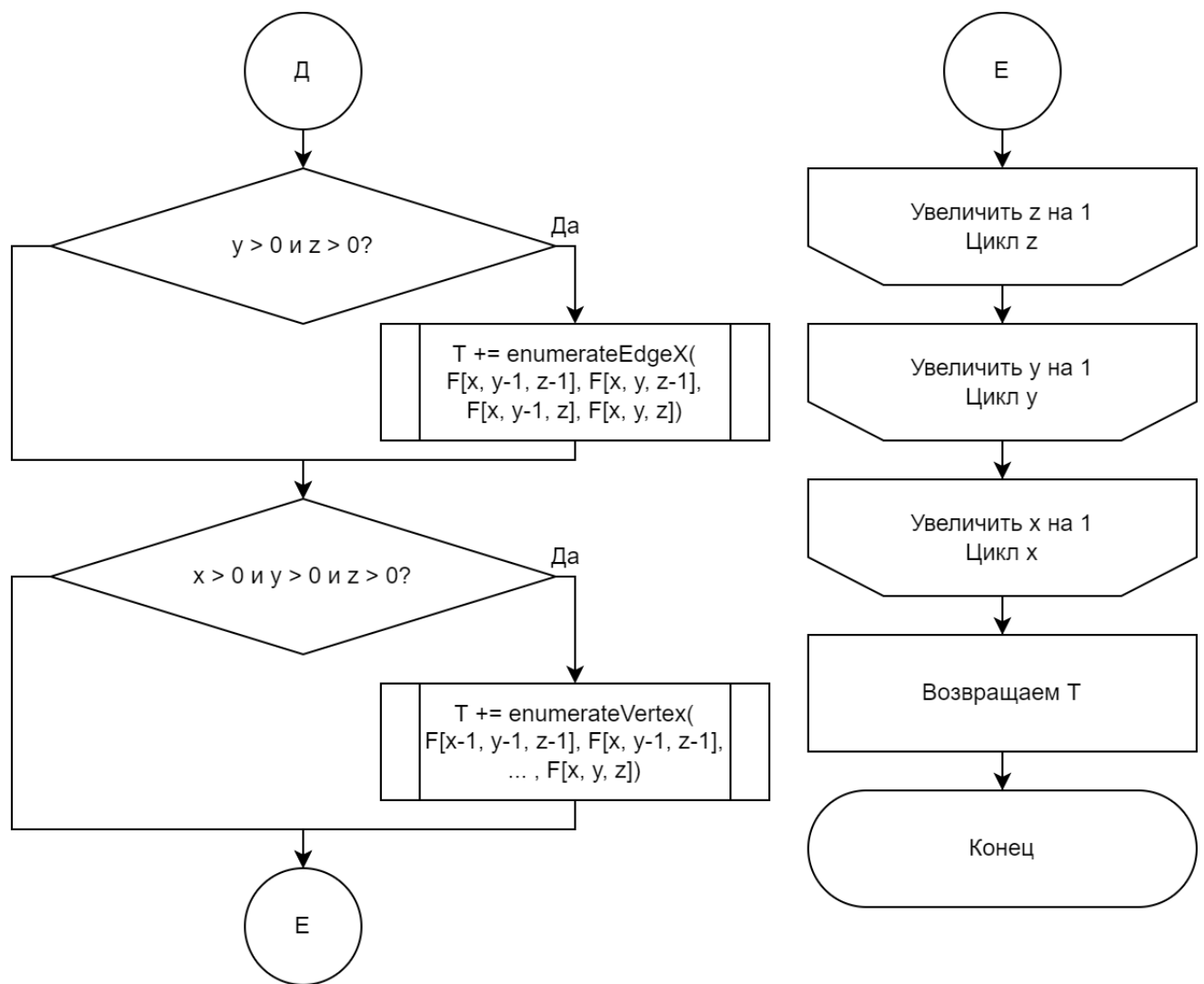


Рисунок 2.8 – Продолжение схемы функции `enumerateTriangles`

## 2.2 Описание используемых структур данных и оценка используемой памяти

В работе алгоритма используются следующие структуры данных:

- трехмерный вектор - 3 действительных числа. Занимает 24 байта;
- непрерывная функция - получается путем линейной интерполяции значений в слоях линейной томографии. Занимает  $(N, M, K)$  действительных чисел, где  $(N, M)$  - размер одного слоя;  $K$  - количество слоев. Также имеет 2 трехмерных вектора описывающих ограничение области определения функции. Занимает  $N * M * K * 8 + 48$  байт;
- треугольник - 3 вершины, описанные трехмерными векторами. Занимает 72 байта памяти;
- восьмеричное дерево - древовидная структура, узлами которой может быть или поддереву с 8-ю потомками, или лист с координатами вершины и значением функции в ней. Узел-поддерево занимает 64 байта, лист - 32 байта.

## 2.3 Структура разрабатываемого программного обеспечения

На рисунке 2.9 представлена UML диаграмма разрабатываемого программного обеспечения.

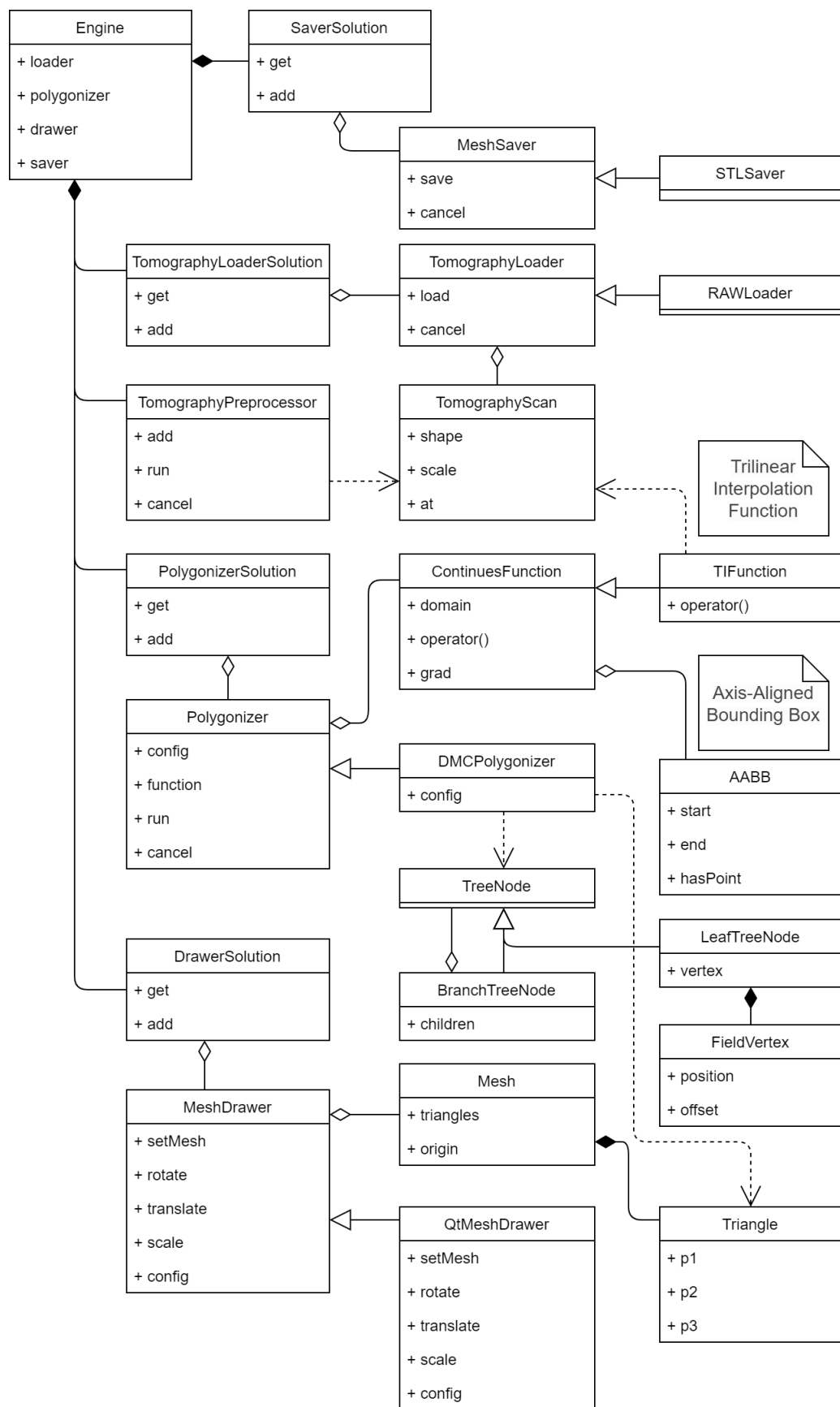


Рисунок 2.9 – UML диаграмма разрабатываемого программного обеспечения

## Вывод

В данном разделе были приведена схема алгоритма Dual Marching Cubes, описаны используемые структуры данных, оценен объем памяти, необходимый для хранения данных, приведена UML диаграмма разрабатываемого приложения.

## 3 Технологический раздел

В данном разделе будут определены средства программной реализации, описан процесс сборки, пользовательский интерфейс и приведено функциональное тестирование.

### 3.1 Выбор средства программной реализации

Для реализации был выбран фреймворк Qt[5] на C++, так как он содержит базовые компоненты пользовательского интерфейса, что позволит больше сконцентрироваться на программировании основного алгоритма. Также для Qt существует интегрированная среда разработки QtCreator[6], упрощающая создание пользовательского интерфейса и отладку приложения.

Были использованы следующие библиотеки:

- **fmt**[7] - библиотека форматирования текста. Используется в генерации сообщений ошибок;
- **Eigen**[8] - библиотека для линейной алгебры. Используется только метод Якоби для решения системы линейных уравнений.

### 3.2 Процесс сборки приложения

Для сборки приложения из исходников понадобится Qt4.x[9] и QtCreator. В QtCreator нужно открыть папку проекта, выбрать сборку Release, собрать проект.

### 3.3 Пользовательский интерфейс

Пользовательский интерфейс состоит из области отображения полигональной модели и меню, разделенного по вкладкам. Каждая вкладка отражает один из этапов: загрузка томографии, преобразование в полигональную модель, настройка освещения и отображения модели, трансформация модели.



Файл    Полигонизация    Отображение

Открыть файл

Информация о томографии:  
 Ширина слоя (X): 128  
 Длина слоя (Y): 128  
 Количество слоев (Z): 62

Размеры вокселя:  
 x: 2,80  
 y: 2,80  
 z: 5,00

Применить

Рисунок 3.1 – Вкладка "Файл". На ней можно загрузить файл томографии, просмотреть информацию о загруженном файле, отредактировать размеры вокселя

Файл    Полигонизация    Отображение

Размеры сетки в ячейках:  
 x: 5  
 y: 5  
 z: 5

Погрешность: 0,100000  
 Макс. глубина: 3

Уровень: 0,500  
 Усреднение: 0

☐ Закрыть отверстия на гранях

Построить

Сохранить модель

Удалить

Рисунок 3.2 – Вкладка "Полигонизация". На ней представлены параметры алгоритма полигонизации, кнопки сохранения и удаления созданной модели

На рисунке 3.2 видны дополнительные параметр *Усреднение* и флаг *Закрывать отверстия на гранях*.

В поле *Усреднение* указывается расстояние до соседних вокселей, среди которых вычисляется среднее значение. Это позволяет получать более сглаженные модели на зашумленных данных томографии.

Установленный флаг *Закрывать отверстия на гранях* добавляет по одному пустому вокселю ко всем граням томографии, для закрытия отверстий, образовавшихся на гранях. Они появляются, потому что объект не поместился целиком в область томографии.

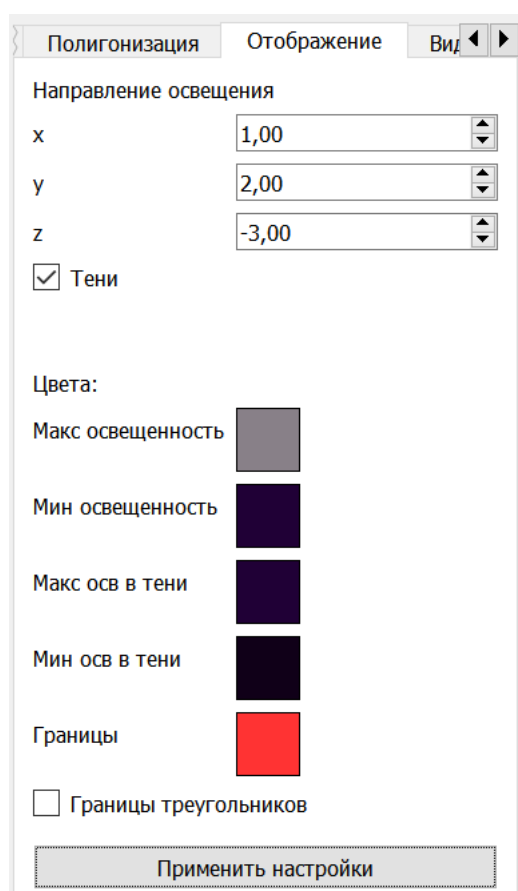


Рисунок 3.3 – Вкладка "Отображение". В ней можно настроить освещение и тени

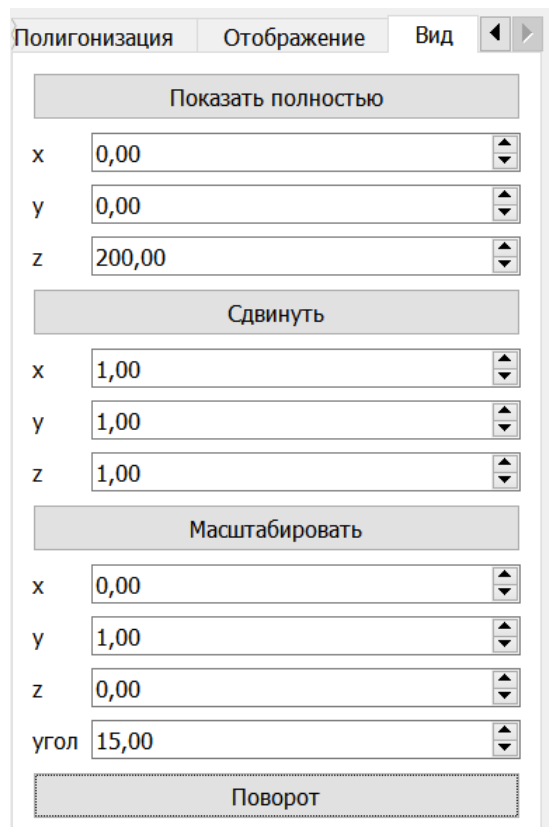


Рисунок 3.4 – Вкладка "Вид". В ней можно применить простые трансформации к модели для просмотра результата

### 3.4 Форматы входных и выходных данных

Для хранения томографии был выбран формат файлов проекта OpenQVis[10] из-за своей простоты чтения и записи. Томография хранится в двух файлах: заголовочном (`.dat`) и файлом вокселей(`.raw`).

Для хранения полигональной модели был выбран формат файла STL(бинарная версия)[11], так как является простым и широко поддерживаемым форматом.

### 3.5 Пример работы приложения

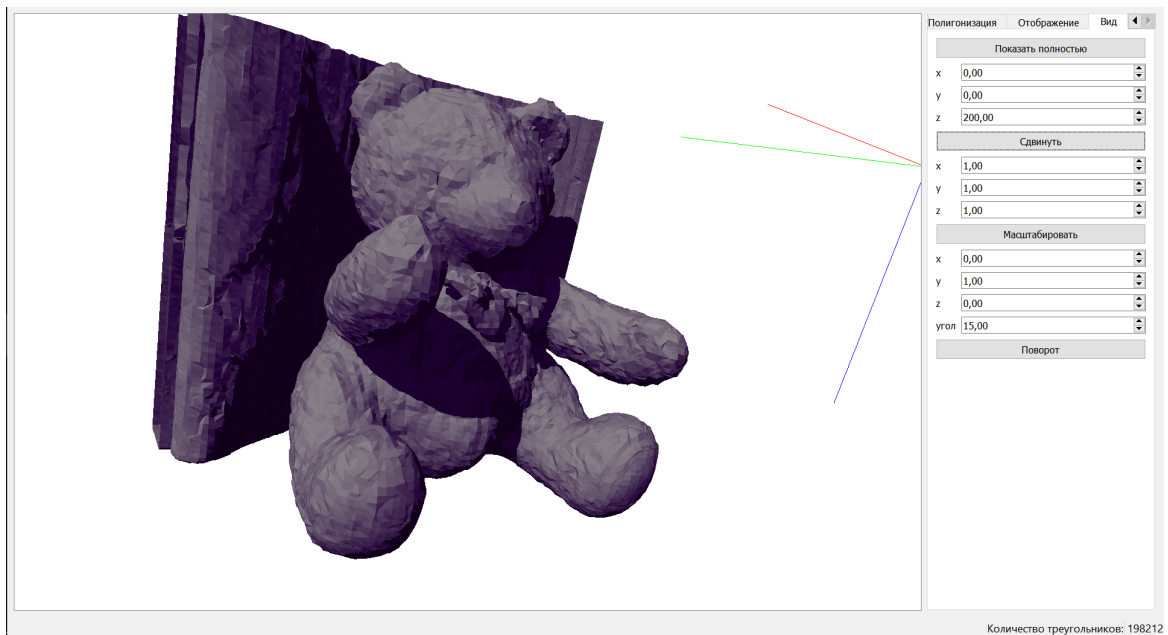


Рисунок 3.5 – Пример результата работы приложения. Полигонизация томографии плюшевого мишки

### 3.6 Тестирование программного обеспечения


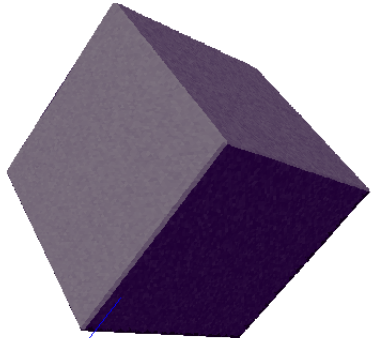
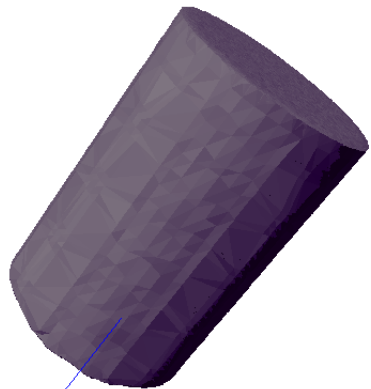
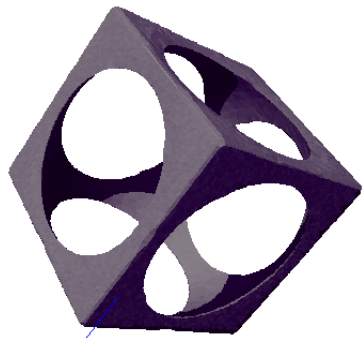
Функциональное тестирование проведено с помощью известных геометрических объектов. Для этого программно были созданы их томографии. Размер томографии - (128, 128, 128). В таблице 3.1 представлены функции, описывающие объект, и результат полигонизации. Причем, функция  $s$  - функция размывания границы, принимает знаковое расстояние до поверхности и коэффициент размытия, имеет вид:

$$s(v, w) = \begin{cases} 1 & \text{если } v < -w \\ \frac{w-v}{2w} & \text{если } -w \leq v < w \\ 0 & \text{если } v \geq w \end{cases} \quad (3.1)$$

### Вывод

В данном разделе были определены средства программной реализации, описан процесс сборки приложения, пользовательский интерфейс и приведено функциональное тестирование.

Таблица 3.1 – Функциональные тесты

Название	Функция $f$	Результат
Шар с радиусом 40	$s(\sqrt{x^2 + y^2 + z^2} - 40, 5)$	
Куб со стороной 80	$s(\max( x ,  y ,  z ) - 40, 0)$	
Цилиндр с радиусом основания 40 высотой 120	$s(\sqrt{x^2 + y^2} - 40, 5) \cdot s( z  - 60, 0)$	
Куб со стороной 80, в котором вырезали шар радиусом 50	$s(\max( x ,  y ,  z ) - 40, 0) \cdot (1 - s(\sqrt{x^2 + y^2 + z^2} - 50, 5))$	

## 4 Исследовательский раздел

В данном разделе будет поставлен эксперимент по оценки эффективности работы алгоритма с использованием параллельности.

### 4.1 Цель эксперимента

Рассматривая схему алгоритма Dual Marching Cubes 2.1-2.8, можно заметить, что построение отдельных восьмиричных деревьев, как и нахождение треугольников изоповерхности не зависит от их соседей. Таким образом, возможно распараллеливание вложенных циклов на рисунках 2.2 и 2.6.

Целью эксперимента является оценка временной эффективности параллельной реализации алгоритма Dual Marching Cubes.

### 4.2 Описание эксперимента

С помощью библиотеки `OpenMP`[12] было реализовано параллельное выполнение циклов на рисунках 2.2 и 2.6.

На 1 этапе алгоритма создаётся много узлов восьмиричного дерева, что вызывает блокировки потоков вовремя выделения памяти. Чтобы их обойти был создан специальный класс `ObjectPool`, который выделяет память заранее и при необходимости удваивает ее.

Эксперимент проводился на компьютере со следующими характеристиками.

- Операционная система: Windows;
- Память: 16 GiB;
- Процессор: Intel i5-10210U CPU @ 1.60GHz;
- Количество логических потоков: 8.

В таблице 4.1 представлены результаты эксперимента: усредненное за 40 прогонов время полигонизации томографии мишки в зависимости от размеров сетки и максимальной глубины восьмиричных деревьев.

Таблица 4.1 – Среднее время полигонизации параллельной и последовательной реализации алгоритма.

Макс. глубина деревьев, ед.	Размер сетки, ячеек	Время, мс	
		Послед. реал.	Паралл. реал.
1	1	7	12
1	5	897	234
1	10	6382	1566
1	15	17894	4372
1	20	37670	12167
2	1	66	108
2	5	6677	2495
2	10	37609	13531
2	15	101519	36492
2	20	196905	71413
3	1	548	714
3	5	39680	14813
3	10	197618	72409
3	15	448713	163171
3	20	-	258929

## Вывод

В данном разделе был проведен эксперимент по параллелизации алгоритма Dual Marching Cubes.

В результате эксперимента были получены следующие результаты:

- последовательная реализация алгоритма имеет меньшее время для любой максимальной глубины деревьев только при размере сетки в 1 ячейку (при макс. глубине 3 последовательная реализация быстрее на 23%). Это связано с потерями на создание отдельных потоков, инициализацию и использования дополнительных структур;
- параллельная реализация быстрее последовательной при размерах сетки, больших 1 ячейки. Так при макс. глубине деревьев 1 и размере сетки в 5 ячеек параллельная реализация быстрее в 3.78 раз, а при макс. глубине 2 и размере сетки в 20 ячеек – быстрее в 2.75 раз;
- с увеличением максимальной глубины деревьев эффективность параллелизации падает, что согласовывается с законом Амдала: вместе с увеличением максимальной глубины восьмеричного дерева, увеличивается и время построения самого глубокого дерева, то есть увеличивается время самого медленного последовательного фрагмента задачи. При размере сетки в 10 ячеек и макс. глубине 1 параллельная реализация быстрее в 4.07 раз, при макс. глубине 2 – в 2.78 раз, а при глубине 3 – в 2.73 раза.



## ЗАКЛЮЧЕНИЕ

Во время выполнения курсовой работы было сделано следующее:

- изучены и проанализированы алгоритмы компьютерной графики построения полигональных моделей из послойных снимков;
- подробно изучен Dual Marching Cubes для применения к поставленной задаче;
- была приведена схема алгоритма Dual Marching Cubes;
- описаны используемые структуры данных;
- описана структура разрабатываемого программного обеспечения с помощью диаграммы UML;
- определены средства программной реализации;
- разработано и протестировано программное обеспечение;
- проведено исследование по параллелизации алгоритма Dual Marching Cubes.

## СПИСОК ИСПОЛЬЗОВАННЫХ ИСТОЧНИКОВ

1. *W. E. Lorensen H. E. C.* Marching cubes: A highresolution 3d surface construction algorithm. In Computer Graphics (Proceedings of SIGGRAPH 87). — 1987.
2. *Wehle M., Mjller H.* Visualization of Implicit Surfaces Using Adaptive Tetrahedrizations // Dagstuhl '97 - Scientific Visualization Conference. — Los Alamitos, CA, USA : IEEE Computer Society, 06.1997. — С. 243. — DOI: 10 . 1109 / DAGSTUHL . 1997 . 10005. — URL: [https : / / doi . ieeecomputersociety.org/10.1109/DAGSTUHL.1997.10005](https://doi.ieeecomputersociety.org/10.1109/DAGSTUHL.1997.10005).
3. T. Ju, F. Losasso, S. Schaefer, J. Warren. Dual Contouring of Hermite Data [Электронный ресурс]. — Режим доступа: <https://www.cs.rice.edu/~jwarren/papers/dualcontour.pdf> дата обращения: 16.11.2021).
4. S. Schaefer, J. Warren. Dual Marching Cubes: Primal Contouring of Dual Grids [Электронный ресурс]. — Режим доступа: <https://www.cs.rice.edu/~jwarren/papers/dmc.pdf> дата обращения: 16.11.2021).
5. Qt | Cross-platform software development for embedded desktop [Электронный ресурс]. — Режим доступа: <https://www.qt.io> дата обращения: 16.11.2021.
6. qt-creator/qt-creator: A cross-platform Qt IDE [Электронный ресурс]. — Режим доступа: <https://github.com/qt-creator/qt-creator> дата обращения: 16.11.2021.
7. Overview — fmt 8.0.1 documentation [Электронный ресурс]. — Режим доступа: <https://fmt.dev> дата обращения: 16.11.2021.
8. Eigen [Электронный ресурс]. — Режим доступа: [http : / / eigen . tuxfamily.org](http://eigen.tuxfamily.org) дата обращения: 16.11.2021.
9. Index of /archive/qt/4.8/4.8.4 [Электронный ресурс]. — Режим доступа: <https://download.qt.io/archive/qt/4.8/4.8.4/> дата обращения: 16.11.2021.
10. The OpenQVis Project at sourceforge.net [Электронный ресурс]. — Режим доступа: <http://openqvis.sourceforge.net/docu/fileformat.html> дата обращения: 16.11.2021.

11. The StL Format | fabbers.com [Электронный ресурс]. — Режим доступа: [http://www.fabbers.com/tech/STL\\_Format](http://www.fabbers.com/tech/STL_Format) дата обращения: 16.11.2021.
12. Home - OpenMP [Электронный ресурс]. — Режим доступа: <https://www.openmp.org/> дата обращения: 16.11.2021.